

9.2 BET - Patudo

En 2021 se llevó a cabo una evaluación del stock de patudo mediante un proceso que incluía una reunión de preparación de datos en abril y una reunión de evaluación en julio. La evaluación de stock utilizaba datos pesqueros del periodo 1950-2019 y los índices de abundancia relativa utilizados en la evaluación se calcularon hasta 2019, inclusive. La descripción completa del proceso de evaluación de stock y el desarrollo del asesoramiento de ordenación se incluyen en el Informe de la reunión de preparación de datos de patudo de ICCAT de 2021 (ICCAT, 2021a) y en el Informe de la reunión de evaluación del stock de patudo de ICCAT de 2021 (ICCAT, 2021b).

BET-1. Biología

El patudo se distribuye geográficamente en todo el Atlántico, entre 50°N y 45°S, pero no en el Mediterráneo. Esta especie nada en aguas más profundas que otras especies de túnidos tropicales y efectúa amplios movimientos verticales. Al igual que los resultados obtenidos en otros océanos, el marcado con marcas “pop up” y marcas archivo realizado en patudos adultos ha mostrado que presentan patrones diurnos claros, ya que se encuentran a mayor profundidad durante el día que durante la noche. En el Pacífico tropical oriental, este patrón diurno lo presentan tanto los juveniles como los adultos. En el Pacífico occidental estos patrones diurnos se han asociado con la alimentación y están sincronizados con cambios en la profundidad de la capa de depresión profunda. La freza tiene lugar en aguas tropicales cuando el entorno es favorable. Desde las áreas de cría en aguas tropicales, los peces juveniles tienden a migrar hacia aguas templadas a medida que crecen. La información sobre captura obtenida con artes de superficie indica que el golfo de Guinea es una zona importante de cría de esta especie. Los hábitos tróficos del patudo son variados y se han observado diversos organismos-presa, tales como peces, moluscos y crustáceos, en sus contenidos estomacales. El patudo tiene un crecimiento relativamente rápido, aproximadamente 110 cm de longitud a la horquilla en la edad tres, 145 cm en la edad cinco y 163 cm en la edad siete. Sin embargo, informes de otros océanos han sugerido recientemente que las tasas de crecimiento del patudo juvenil son más bajas que las estimadas en el Atlántico. Según la información obtenida de los datos de marcado del océano Índico, las tasas de crecimiento del patudo difieren entre sexos, los machos alcanzan una L_{inf} de aproximadamente 10 cm más que las hembras. El patudo alcanza la madurez con cerca de 100 cm, con una edad aproximada de tres años. Los peces jóvenes forman cardúmenes mezclados con otros túnidos, como listado y juveniles de rabil. Estos cardúmenes a menudo están asociados con objetos a la deriva, tiburones-ballena y montes submarinos. Esta asociación se produce menos a medida que los peces crecen.

La amplia información sobre crecimiento obtenida durante el Programa de marcado de túnidos tropicales del océano Atlántico (AOTTP) ha confirmado los supuestos previos acerca de las tasas de crecimiento y la curva de Richards publicada por Hallier *et al.*, (2005) continúa utilizándose en la evaluación de patudo. Se asume que la mortalidad natural (M) es más grande para los peces jóvenes que para los peces mayores. Los supuestos de M específicos de la edad se modificaron significativamente respecto a la evaluación de stock de 2018 (ICCAT, 2019). Las modificaciones se basaban en la nueva información recientemente obtenida mediante la determinación de la edad de otolitos de patudo del Atlántico que demostraba que los peces alcanzan los 17 años (en contraste con las estimaciones previas de 15 años) y mediante la decisión de usar un procedimiento mejor para derivar la mortalidad natural a partir de la edad máxima. Varias pruebas, como la falta de una heterogeneidad genética identificada, la distribución espaciotemporal de los peces y los desplazamientos de los peces marcados, confirmada por datos recientes obtenidos en el marco del programa AOTTP (BET-Figura 1) apuntan a la existencia de un único stock de esta especie en todo el Atlántico. Sin embargo, no se deberían descartar la posibilidad de otros escenarios más complejos de estructura de stock. Los conocimientos acerca de la relación entre reclutamiento y el stock reproductor siguen siendo limitados, por lo que los supuestos acerca de la inclinación de esta relación para un stock reproductor pequeño y la variación interanual en el reclutamiento continúa siendo la misma que en los supuestos de la evaluación de 2018. Estas incertidumbres en la estructura del stock, la mortalidad natural y la relación entre el stock reproductor y el reclutamiento, tienen importantes implicaciones para la evaluación de stock, tal y como se describe en el Informe de la reunión de evaluación de stock de patudo de 2021 (ICCAT, 2021b).

BET-2. Indicadores de la pesquería

Este stock ha sido explotado por tres artes principales (pesquerías de palangre, cebo vivo y cerco) y por muchos países en su rango de distribución. ICCAT tiene datos detallados sobre la pesquería para este stock desde los años cincuenta. Desde 1980 se han llevado a cabo campañas de muestreo científico en los puertos de desembarque de cerqueros procedentes de la UE y otras flotas para estimar las capturas de patudo (**BET-Figura 2** y **BET-Tabla 1**). La talla de los peces capturados presenta variaciones entre las diferentes pesquerías: ejemplares de medianos a grandes en la pesquería de palangre y en los lances de cerco sobre banco libre; de pequeños a grandes en la pesquería de cebo vivo subtropical; y pequeños en las pesquerías de cebo vivo tropical, de liña de mano occidental y las pesquerías de cerco con objetos flotantes (FOB)/ dispositivos de concentración de peces (DCP).

Las principales pesquerías históricas de cebo vivo se localizan en Ghana, Senegal, islas Canarias, Madeira y las Azores. Desde 2012, se ha desarrollado en la zona ecuatorial occidental un método de pesca con "buques de liña de mano asociados a bancos de túnidos", en el que el buque actúa como dispositivo de concentración de peces. Las capturas de patudo de esta pesquería han aumentado desde 555 t en 2012 hasta una media de 4.670 t en 2015-2019. Las flotas tropicales de cerco operan en el golfo de Guinea en el Atlántico este y en la zona ecuatorial tropical. Las flotas palangreras operan en una distribución geográfica más amplia, y abarcan las regiones tropicales y templadas (**BET-Figura 2**). Aunque el patudo es una especie objetivo primordial para la mayoría de las pesquerías de palangre y para algunas pesquerías de cebo vivo, esta especie ha tenido siempre una importancia secundaria para otras pesquerías de superficie. A diferencia del rabil, en la pesquería de cerco el patudo se captura principalmente en la pesca sobre objetos flotantes como troncos o dispositivos de concentración de peces artificiales (FOB/DCP). El número total estimado de DCP plantados anualmente ha aumentado desde el inicio de la pesquería con DCP, especialmente en años recientes. Durante 2018-2023, los desembarques de patudo, en peso, realizados por las flotas de palangre representaron el 49 % del total, los de las flotas de cerco el 32 %, los de las flotas de cebo vivo el 11 % y otras flotas de superficie el 8 % (**BET-Tabla 1**) del total.

La captura total anual de Tarea 1 (**BET-Tabla 1** y **BET-Figura 3**) aumentó de forma continua hasta mediados de los 70 alcanzando las 60.000 t y fluctuó durante los 15 años siguientes. En 1992, la captura alcanzó unas 100.000 t aproximadamente y continuó aumentando, llegando a alcanzar un máximo histórico de aproximadamente 135.000 t en 1994. Desde entonces, la captura declarada y estimada ha descendido de forma continua y cayó hasta 59.192 t antes de 2006. Desde el bajo nivel de 2006, las capturas han aumentado de nuevo y alcanzaron las 80.000 t en 2015. El promedio de capturas en el periodo 2016-2020 se situó en 73.000 t. Las capturas de todos los túnidos tropicales disminuyeron considerablemente en 2021, y la captura declarada de patudo fue de sólo 47.209 t. La captura preliminar comunicada para 2023 fue de 61.320 t.

Después del máximo histórico de captura en 1994, todas las grandes pesquerías experimentaron un descenso en la captura, mientras que la proporción relativa de cada pesquería en la captura total se mantuvo relativamente constante hasta 2008. Estas reducciones en la captura estaban relacionadas con descensos en el tamaño de la flota pesquera (palangre), así como con el descenso de la captura por unidad de esfuerzo (CPUE) (palangre y cebo vivo). Aunque la tendencia general decreciente de las capturas prosiguió para el palangre y cebo vivo, las capturas de cerco se incrementaron, así como la contribución relativa del cerco a las capturas totales en el periodo 2010-2019. Otras pesquerías de superficie de CPC sin límites de captura específicos de acuerdo con la [Rec. 16-01](#), aumentaron también sus capturas, pasando de aproximadamente 900 t en 2011 hasta aproximadamente 5.700 t en 2016-2020, debido principalmente al desarrollo de una pesquería de buques de liña de mano asociados a bancos de túnidos en el Atlántico ecuatorial occidental.

La Rec. 19-02 requiere que la Secretaría de ICCAT trabaje con el SCRS para preparar una estimación de la capacidad en la zona del Convenio, con el fin de incluir al menos todas las unidades de pesca a gran escala o que operan fuera de la Zona Económica Exclusiva (ZEE) de la CPC en la que están registradas. Estas estimaciones de capacidad se actualizaron en 2024, y estas estimaciones en 2023 fueron de 62 cerqueros de gran escala dirigidos a túnidos tropicales, lo que es inferior a algunas estimaciones previas, pero ligeramente superior a la estimación realizada por el SCRS para 2018 (**YFT-Tabla 2**). En la actualidad, no se dispone de estimaciones de capacidad para otras flotas a gran escala.

Las capturas de patudo pequeño siguen desviándose hacia los mercados locales de África occidental, principalmente en Abiyán, y se venden como “faux poisson”, lo que complica su seguimiento y comunicación oficial. El seguimiento de estas capturas ha progresado recientemente mediante un enfoque coordinado que permite a ICCAT tener en cuenta estas capturas y, por tanto, incrementar la calidad de los datos básicos de captura y talla disponibles para las evaluaciones. Actualmente, estas capturas se incluyen junto con las de la flota de cerco principal en los datos de Tarea 1 de ICCAT utilizados para las evaluaciones. El Grupo de especies de túnidos tropicales estimó que la captura de 2020-2022 de “faux poisson” representaba el 4 % de la captura total de patudo de los cerqueros.

En la evaluación de 2018, se revisó el peso medio del patudo. Se observó que el peso medio descendió antes de 2004, pero se ha mantenido bastante estable en aproximadamente 10 kg durante la última década. Sin embargo, el peso medio presenta importantes diferencias para los diferentes artes de pesca. En 2017, se encontraba en torno a 55 kg para los palangreros, a 10 kg para los cañeros y a 6 kg para los cerqueros. Desde 2000, varias flotas palangreras han mostrado un incremento en el peso medio del patudo capturado; el peso medio de los ejemplares capturados con palangre se ha incrementado, pasando de 40 a 60 kg desde 2000 a 2008. El peso medio del patudo capturado en bancos libres es más del doble que el peso medio del patudo capturado en torno a FOB/DCP. Desde 1991, momento en que las capturas de túnidos con DCP se identificaron de forma separada para las flotas de cerco de la UE y otras CPC, la mayor parte del patudo procede de lances asociados con DCP, especialmente desde mediados de la década de 2000 (60 % - 80 %). Del mismo modo, el patudo capturado con cebo vivo pesaba entre 6 y 10 kg hasta 2011, pero presentaba una mayor variabilidad interanual en su peso medio en comparación con los ejemplares capturados con palangre o cerco.

Durante la evaluación de 2018 se utilizó un índice conjunto de abundancia estandarizado de palangre (Hoyle *et al.*, 2019) en lugar de utilizar los índices individuales estandarizados de cada CPC como en la evaluación de 2015. El índice estandarizado de palangre conjunto para 1959-2017 se elaboró utilizando datos operativos detallados (lo que incluye lance por lance e identificadores de los buques) de las flotas principales de palangre (Japón, Corea (Rep.), Estados Unidos y Taipei Chino). El índice se desglosó en dos períodos, 1959-1978 (“temprano”) y 1979-2017 (“tardío”), debido a los cambios en el nivel de información disponible sobre las operaciones de pesca.

La elaboración de este índice conjunto de CPUE estandarizada se hizo para reducir los conflictos entre los datos que surgen cuando las tendencias de CPUE difieren para distintas flotas en el mismo periodo. Esto puede ocurrir cuando los datos disponibles son escasos, cuando la pesquería se produce en los extremos de la distribución espacial del stock y/o no representa una parte significativa de la biomasa del stock o cuando el índice solo hace referencia a una pequeña parte de la distribución por tallas o por edades. Esto puede producirse cuando hay cambios importantes en las operaciones pesqueras (por ejemplo, cambios en la especie objetivo, en las reglamentaciones o en la distribución espacial) que no pueden tenerse en cuenta en el proceso de estandarización.

Los índices de palangre conjuntos de 2018 constituyeron una mejora respecto a los índices específicos de la flota y, para el periodo “tardío”, y han permitido tener en cuenta las diferencias en la eficacia pesquera de los palangreros. El índice de palangre conjunto “temprano” desarrollado en 2018 para el periodo 1959-1978 se incluyó en la evaluación de 2021 (**BET-Figura 4**).

En 2021 se obtuvo un nuevo índice de palangre conjunto para el periodo “tardío”, 1979-2019 (**BET-Figura 4**). Lamentablemente, no fue posible actualizar este índice usando el mismo nivel de datos detallados ni el mismo conjunto de datos de palangre específicos de la flota como se hizo durante la evaluación de 2018 debido a las restricciones en los análisis provocados por la pandemia de COVID-19. El índice de palangre conjunto “tardío” de 2021 utilizó datos agregados de capturas mensuales por flota y cuadrículas de 1x1 longitud - latitud. Este índice se elaboró sin datos de identificación de lance por lance.

Un nuevo índice trimestral de boyas ecosonda acústicas asociadas con los DCP y que cubre el periodo de 2010-2019 está ahora disponible para las tres especies de túnidos tropicales y ayudó a la evaluación para tener en cuenta los cambios en la abundancia de patudo juvenil (**BET-Figura 5**). Este nuevo índice es una mejora importante en el conjunto de información disponible para la evaluación del stock, teniendo en cuenta las dificultades encontradas hasta ahora para desarrollar un índice a partir de las pesquerías de cerco de túnidos tropicales. El índice se ha desarrollado a partir de estimaciones de biomasa de túnidos obtenidas de las boyas acústicas colocadas en los DCP. Las observaciones de la composición por especies

de los tónidos tropicales de los lances en DCP del cerco realizados en lugares y momentos similares a las observaciones acústicas se utilizan para desarrollar un índice de boyas para cada especie de tónidos tropicales.

En la evaluación, se asumió que el índice de palangre conjunto tenía una selectividad para peces mayores, equivalente a la flota palangrera de Japón en el océano Atlántico tropical. Dado que el índice de boyas acústicas representa la abundancia de patudo asociada con los DCP, se asumió que representa el mismo rango de tallas y edades de patudo que las capturadas en la pesquería de cerco que opera en DCP.

BET-3. Estado del stock

La evaluación de stock de 2021 se realizó usando modelos de evaluación similares a los usados en 2018, actualizando los datos hasta 2019, pero con algunos cambios importantes en los supuestos de mortalidad natural, derivados de la nueva información y de los nuevos supuestos sobre la edad máxima, los índices de abundancia relativa utilizados y la estructura de la flota del modelo utilizado para proporcionar el asesoramiento sobre ordenación. Como en 2018, las evaluaciones del estado de stock para el patudo del Atlántico han utilizado en 2021 varios enfoques de modelación, desde los modelos de producción en situación de no equilibrio (MPB) y modelos de producción estado-espacio bayesianos (JABBA) hasta modelos de evaluación estadísticos integrados (Stock Synthesis). Las diferentes formulaciones de los modelos que se consideran representaciones plausibles de la dinámica del stock se utilizaron para describir el estado del stock y las incertidumbres asociadas con las evaluaciones del estado del stock.

El modelo de evaluación estadísticamente integrado Stock Synthesis permite la incorporación de información más detallada tanto en lo que concierne a la biología de la especie como a los datos de las pesquerías, lo que incluye datos de talla y selectividad para los diferentes componentes de las flotas y de los artes. Dado que Stock Synthesis permite la modelación de cambios en la selectividad de las diferentes flotas, así como investigar el efecto de la estructura de edad/talla de las capturas de diferentes pesquerías en la dinámica de la población, la productividad y la mortalidad por pesca, fue el modelo acordado para su utilización para el asesoramiento de ordenación. La matriz de incertidumbre de Stock Synthesis incluye 27 configuraciones de modelo, asignándose a todas ellas la misma ponderación, que fueron investigadas para garantizar que se incorporaban y representaban las principales fuentes de incertidumbre estructural en los resultados de la evaluación (**BET-Tabla 2**). Aunque no se utilizaron para el asesoramiento de ordenación los resultados de los dos modelos de producción, el modelo en no equilibrio y el modelo estado espacio bayesiano, estos resultados proporcionaron una percepción comparativa del estado del stock. Las trayectorias de la mediana biomasa relativa (B/B_{RMS}) y de la mortalidad por pesca relativa (F/F_{RMS}) de los modelos de producción y de los modelos de Stock Synthesis mostraron patrones similares. Los 27 modelos de Stock Synthesis tenían amplios límites de incertidumbre para estas trayectorias y las trayectorias de la biomasa de todos los modelos de producción están dentro de estos límites.

Los resultados de la matriz de incertidumbre de los ensayos de Stock Synthesis muestran un descenso a largo plazo en la biomasa del stock reproductor (SSB) desde el inicio de la pesquería, que se acelera entre 1970 y 2000, y una SSB relativamente estable en los últimos 20 años. La mortalidad por pesca relativa aumentó desde el inicio de la pesquería hasta 1999, descendió rápidamente desde 1999 hasta 2008 y ha permanecido relativamente estable desde entonces. Las estimaciones de reclutamiento para el periodo reciente de 2015-2019, muestran una tendencia ascendente (**BET-Figura 6**), a pesar de la relativa estabilidad de la SSB reciente (**BET-Figura 7**).

La matriz de incertidumbre de Stock Synthesis muestra trayectorias para 1950-2019 de F ascendente y biomasa (B) descendente hacia la zona roja del diagrama de Kobe ($F > F_{RMS}$ y $SSB < SSB_{RMS}$) (**BET-Figuras 7 y 8**). La sobrepesca empieza en torno a 1993 y el stock llega a estar sobrepescado en torno a 1997, alcanzando por tanto al cuadrante rojo del diagrama de Kobe y mayormente permaneció en el cuadrante rojo hasta 2019, cuando cesó la sobrepesca (**BET-Figura 8**). Los resultados de la evaluación, basados en la mediana de toda la matriz de incertidumbre, muestran que, en 2019, el stock de patudo del Atlántico estaba sobrepescado (mediana de $SSB_{2019}/SSB_{RMS} = 0,94$ e intervalo de confianza (IC) del 80 % de 0,71 y 1,37) y no estaba experimentando sobrepesca (mediana de $F_{2019}/F_{RMS} = 1,00$ e IC del 80 % de 0,63 y 1,35). La media del RMS fue estimada en 86.833 t con IC del 80 % de 72.210 y 106.440 t a partir de los ensayos deterministas de la matriz de incertidumbre.

Los cálculos de los niveles de referencia variables en el tiempo de la matriz de incertidumbre de Stock Synthesis muestran un aumento a largo plazo en SSB_{RMS} y un descenso general a largo plazo de RMS. Este cambio en los puntos de referencia es el resultado del cambio en la selectividad general causado por un cambio hacia una captura de mayores proporciones de peces más pequeños. La estimación actual del RMS está por debajo de lo alcanzado en décadas pasadas debido a este cambio. Otras fuentes potenciales de cambios en la productividad del stock no se han tenido en cuenta en la evaluación, ya que no se han presentado al Comité pruebas de tales cambios (**BET-Figura 9**).

Las estimaciones actuales del estado del stock de 2019 son más optimistas que las del estado del stock de 2017 realizadas en la evaluación de 2018. Los análisis de sensibilidad demostraron que tales cambios en el estado del stock se deben parcialmente, a la sustitución del índice de palangre conjunto "tardío" de 2018 por el nuevo índice de palangre conjunto "tardío", y a la incorporación de nuevos vectores de mortalidad por edad (**BET-Figura 10**).

El efecto de la mortalidad natural, la inclinación y el SigmaR (variabilidad en el logaritmo del reclutamiento) sobre la incertidumbre en torno al estado actual del stock se muestra en **BET-Figura 11**. De los tres ejes de incertidumbre, la mortalidad natural es la que más contribuye a cambiar la percepción del estado del stock. Los supuestos sobre mortalidad natural son los que contribuyen más a esta incertidumbre (**BET-Figura 11a**).

La incertidumbre relativa al cambio en la metodología del índice del palangre no se incorporó a la matriz de incertidumbre porque el Comité no tenía claro cuál era la forma adecuada de proceder. La escala del impacto de este cambio de metodología puede verse en la **BET-Figura 10**. Por lo tanto, el estado actual del stock (**BET-Figura 8**) es más incierto de lo que el SCRS ha podido cuantificar con la matriz de incertidumbre.

BET-4. Perspectivas

Durante la evaluación de 2021 se llevaron a cabo proyecciones para la matriz de incertidumbre de Stock Synthesis para una gama de capturas fijas de 35.000 a 90.000 t para 15 años (que se corresponde con el tiempo de dos generaciones de patudo) desde 2020 a 2034. Los resultados de las proyecciones están determinados por todos los supuestos realizados para el periodo de proyección: por la estimación de captura para 2020, por el supuesto de que las extracciones igualan el TAC desde 2021 en adelante, por el supuesto de que la contribución relativa de las diferentes flotas a las capturas de 2020 en adelante es igual a las contribuciones para 2017-2019 y que el reclutamiento futuro está determinado por el stock reproductor. Las capturas de 2020 en las proyecciones son un 22 % inferiores a la media de capturas del periodo 2015-2019 y, por primera vez desde 2015, estas capturas no superaron el TAC.

Según las proyecciones de 2021, las capturas asumidas para 2020 y 2021 se situaron en 59.919 t y 61.500 t, respectivamente. A septiembre de 2023, las capturas declaradas de 2020 eran de 57.971 t, inferiores a las utilizadas en las proyecciones realizadas en 2021. Las capturas comunicadas de 2021 de 47.568 t fueron más bajas en comparación, pero las capturas preliminares de 2022, 62.513 t, fueron ligeramente superiores al TAC de 62.000 t. Por lo tanto, las proyecciones realizadas en 2021 deben interpretarse con cautela, ya que ninguna de las tablas de proyección se calculó con capturas para 2020-2022 que coincidieran con las capturas actuales comunicadas para dicho periodo.

Para algunas proyecciones, el stock modelado no podría sostener algunos de los TAC constantes elevados a largo plazo, dado que se predijo que la SSB descendería por debajo de un umbral seguro (**BET-Tabla 3**). Este umbral de seguridad es un indicador de SSB muy baja que puede comprometer la capacidad de recuperación de un stock cuando se alcanzan niveles tan bajos de biomasa. El valor de 20% de SSB en RMS es utilizado por el Comité tanto para el rabil como para el patudo. Los resultados de las proyecciones de Stock Synthesis se proporcionan en forma de matrices de estrategia de Kobe II (K2SM), lo que incluye probabilidades de que no se esté produciendo sobrepesca ($F \leq F_{RMS}$), de que el stock no esté sobrepescado ($SSB \geq SSB_{RMS}$) y la probabilidad conjunta de situar al stock en el cuadrante verde del diagrama de Kobe (a saber, $F \leq F_{RMS}$ y $SSB \geq SSB_{RMS}$) (**BET-Tabla 4**).

El rápido cambio en las probabilidades de experimentando sobrepesca y sobrepescado durante 2020 y 2021 (**BET - Figura 12**) son el resultado del hecho de que el estado estimado del stock en 2019 está cerca del punto central del diagrama de Kobe. Cuando un stock se encuentra en ese punto central, los descensos

en la mortalidad por pesca provocan inicialmente grandes cambios en estas probabilidades, como puede verse en los histogramas marginales (**BET-Figura 8**).

La perspectiva más optimista, presentada en la evaluación de 2021 en comparación con la obtenida en 2018, es el resultado de una combinación de factores: las actualizaciones de los datos y parámetros biológicos, los cambios en la metodología y los datos utilizados para el índice conjunto de palangre, el uso del índice de boyas, los cambios en la estructura de la flota en los modelos Stocks Synthesis, y las capturas asumidas de patudo para 2020 y 2021, que fueron bajas en comparación con las capturas de 2015-2019. Hubo cierto desacuerdo entre los miembros del Comité en cuanto a si todos estos cambios representan mejoras de la información utilizada para determinar el estado del stock y las perspectivas del stock. Por tanto, la matriz de Kobe II debería interpretarse con cautela.

BET-5. Efecto de las reglamentaciones actuales

Durante el periodo 2005-2008 se estableció un TAC global de 90.000 t. Dicho TAC se redujo posteriormente ([Rec. 09-01](#) modificada posteriormente por la [Rec. 14-01](#)) situándose en 85.000 t. Las estimaciones de captura comunicadas para 2009-2015 (**BET-Tabla 1**) han sido siempre inferiores a 85.000 t. El TAC se redujo de nuevo a 65.000 t en la [Rec. 15-01](#), que entró en vigor en 2016, en la [Rec. 18-01](#) y en la [Rec. 19-02](#) a 62.500 t y 61.500 t para 2020 y 2021, respectivamente. Los TAC para 2022-2024 se fijaron en 62.000 t ([Rec. 21-01](#), [Rec. 22-01](#) y [Rec. 23-01](#), respectivamente). Las capturas superaron el TAC en más de un 20 % cada año entre 2016 y 2019, excepto en 2018, cuando las capturas fueron un 12 % superiores al TAC. Cabe señalar que, dado que los TAC no limitan las capturas de todos los países y flotas que pueden capturar patudo, la captura total extraída del stock puede superar el TAC. La [Rec. 19-02](#) incluía nuevos límites de captura para las CPC que no estaban previamente sujetas a límites de captura, lo que se hizo efectivo en 2020. Estos límites se modificaron ligeramente en recomendaciones posteriores. Los límites actuales se describen en la [Rec. 22-01](#) y la [Rec. 23-01](#). Dichos límites podrían haber contribuido a los descensos de la captura declarada en 2020 y 2021, que fueron inferiores al TAC, aunque dicho descenso también podría deberse en parte a los efectos del COVID-19 en las operaciones pesqueras. Las capturas preliminares comunicadas para 2023 fueron de 61.320 t, inferiores al TAC de 62.000 t.

La preocupación generada por las capturas de patudo y rabil pequeño condujo al establecimiento de vedas espaciales a operaciones de pesca con DCP de artes de pesca de superficie en el golfo de Guinea ([Recs. 04-01](#), [08-01](#), [11-01](#), [14-01](#) y [15-01](#)) o en todo el Atlántico ([Rec. 19-02](#), [21-01](#) y [22-01](#)). El Comité evaluó la eficacia de las vedas temporales alternativas (temporada y duración) utilizando los resultados de las evaluaciones más recientes de los stocks de patudo y rabil (punto 19.38).

BET-6. Recomendaciones de ordenación

En 2019, se estimó que el stock de patudo del Atlántico estaba sobrepescado, pero no que no era objeto de sobrepesca. Según la matriz de estrategia de Kobe 2 (K2SM), una captura futura constante de 61.500 t, que es el TAC establecido en la [Rec. 19-02](#), tendrá una probabilidad elevada (97 %) de mantener al stock en el cuadrante verde del diagrama de Kobe desde ahora hasta 2034. Esto situaría al stock en un estado coherente con los objetivos del Convenio y con los objetivos del plan de recuperación de la [Rec. 19-02](#) (**BET-Tabla 4**). La K2SM incorpora algunas de las principales fuentes de incertidumbre conocidas, sin embargo, otras fuentes de incertidumbre importantes no están incluidas en el desarrollo de la K2SM, lo que incluye la idoneidad del rango de mortalidades naturales usado en la matriz de incertidumbre y el cambio en la metodología utilizada para desarrollar el índice de palangre conjunto. Por lo tanto, el estado actual del stock y sus perspectivas son más inciertos de lo que se describe en la tabla resumen y en la K2SM. Las probabilidades de proyección deben interpretarse con cautela. Hasta que no se incorporen adecuadamente dichas fuentes adicionales de incertidumbre en la estimación del estado del stock y en la K2SM, la Comisión debería considerar adoptar un TAC que haría cambiar el estado del stock de patudo hacia la zona verde del diagrama de Kobe con una elevada probabilidad.

La Comisión debería saber que el incremento de las capturas de peces pequeños podría haber tenido consecuencias negativas para la productividad de las pesquerías de patudo (por ejemplo, menos rendimiento en RMS y que se requiera una mayor SSB para producir el RMS) (**BET-Figura 9**). La [Rec. 19-02](#) contiene las medidas adoptadas por la Comisión para aumentar el rendimiento sostenible a largo plazo mediante la reducción de las capturas de juveniles de túnidos tropicales. Es demasiado pronto para saber en qué medida estas medidas han reducido la mortalidad de juveniles de patudo.

RESUMEN DEL PATUDO DEL ATLÁNTICO

Rendimiento máximo sostenible	86.833 t (72.210 -106.440 t) ¹
Rendimiento actual (2023)	61.320 t ²
Biomasa reproductora relativa (SSB ₂₀₁₉ /SSB _{RMS})	0,94 (0,71-1,37) ¹
Mortalidad por pesca relativa (F ₂₀₁₉ /F _{RMS})	1,00 (0,63-1,35) ¹
Estado del stock (2019)	Sobrepescado: Sí ³ Sobrepesca: No ³
Medidas de conservación y ordenación en vigor:	Rec. 16-02 , Rec. 17-01 y Rec. 23-01 <ul style="list-style-type: none"> - Se establece el total admisible de capturas (TAC) para 2022-2024 en 62.000 t, para las Partes contratantes y Partes, entidades o entidades pesqueras no contratantes colaboradoras. - No pesca con objetos flotantes naturales o artificiales desde el 1 enero hasta el 12 de marzo de 2024, - No más de 300 DCP activos en un momento determinado por buque. - Uso de DCP que no produzcan enmallamientos. - Prohibición de descartes desde los cerqueros

¹ Resultado combinado de la matriz de incertidumbre de los 27 ensayos de Stock Synthesis, mediana y percentiles 10 y 90 % entre paréntesis.

² Las cifras comunicadas para 2023 reflejan los datos más recientes, pero deberían considerarse provisionales.

³ Probabilidad de estar sobrepescado: 58 %, probabilidad de ser objeto de sobrepesca: 50 %.

INFORME ICCAT 2024-2025 (I)

BET-Tabla 1. Capturas estimadas (t) de patudo (*Thunnus obesus*) por arte, zona y pabellón.

		1994	1995	1996	1997	1998	1999	2000	2001	2002	2003	2004	2005	2006	2007	2008	2009	2010	2011	2012	2013	2014	2015	2016	2017	2018	2019	2020	2021	2022	2023	
TOTAL A-M		134932	128057	120762	110249	107948	121422	104334	91636	75801	87596	90043	67954	59192	69285	63172	76427	76074	76749	71317	66977	75308	80000	79897	78665	73077	75384	57971	47209	62313	61320	
Landings	Bait boat	20352	25687	18342	21277	19173	22197	12141	14430	8460	11233	20238	13104	10605	10561	6307	11548	7842	7824	10459	9195	8715	6710	8366	7932	7341	6811	6141	6855	4668		
	Longline	78980	74882	74930	68306	71851	77724	72010	56123	47350	55356	49400	37961	34183	46231	41063	43533	42516	37899	34930	32245	36770	40279	36345	35190	32065	33890	27388	20996	32429	36999	
	Other surf.	973	561	363	546	445	678	459	723	226	451	293	733	552	449	230	258	487	1146	1012	2783	4960	6002	6472	7217	4616	6054	5461	5167	5682		
	Purse seine	32667	25260	26592	19127	15490	20139	17460	20103	19552	19689	19094	15129	13310	11962	14810	20007	24235	23767	24080	22122	24253	24418	28624	26838	27284	26930	17026	14058	16793	13092	
Landings(FP)	Bait boat	0	0	0	0	0	0	0	0	0	0	0	0	0	0	0	0	0	0	0	0	0	0	0	0	0	0	0	0	0	0	
	Purse seine	2032	1667	540	993	989	1184	1363	257	214	867	1019	1026	542	692	772	1081	994	1277	823	632	609	1193	1744	1015	11281	1145	1355	646	1028	850	
	Bait boat	0	0	0	0	0	0	0	0	0	0	0	0	0	0	0	0	0	0	0	0	0	0	0	0	0	0	0	0	0	0	0
	Longline	0	0	0	0	0	0	0	0	0	0	0	0	0	0	0	0	0	0	0	0	0	0	0	0	0	0	0	0	0	0	0
Landings	CP	0	0	0	0	0	0	0	0	0	0	0	0	0	0	0	0	0	0	0	0	0	36	0	38	2	10	3	1	2	0	
	Angola	0	0	0	0	0	0	0	0	0	0	0	0	0	0	0	0	0	0	0	0	0	0	0	0	0	0	0	0	0	0	0
	Bahamas	0	0	0	24	17	18	18	6	11	16	19	27	18	14	14	7	12	7	15	11	26	30	19	16	29	14	20	25	24	28	
	Belize	0	10	0	5	195	0	134	96	0	0	0	0	4	60	70	234	249	1218	1242	1336	1502	1877	1764	1961	2135	2307	991	600	1002	1190	
Brazil	601	1935	1707	1237	776	2024	2768	2659	2582	2455	1496	1081	1479	1593	958	1189	1173	1841	2120	3623	6456	7750	7660	7258	5096	6249	6284	6499	7341	6364		
Canada	111	148	144	166	120	263	327	241	279	182	143	187	196	144	130	111	103	137	166	197	218	257	171	214	237	193	104	253	330	379		
Cape Verde	385	271	299	228	140	9	2	0	1	1	1	1077	1406	1247	444	545	554	1037	713	1333	2271	2764	1680	1107	1418	880	576	171	2	3		
China PR	428	476	520	427	1503	7347	6564	7210	5840	7890	6555	6000	7200	7399	5686	4945	5489	3720	3231	2371	2232	4942	5852	5514	4823	5718	3614	1638	3249	5415		
Costa Rica	0	0	0	0	0	0	0	0	0	0	0	0	0	0	0	0	0	0	0	0	0	1	0	1	4	4	1	1	6	1	1	
Curacao	0	0	1893	2890	2919	4016	3098	3757	2221	3203	3526	27	416	252	1721	2348	2688	3441	2890	1964	2315	2573	3598	2844	3530	2787	1519	1701	824	143		
Côte d'Ivoire	0	0	0	0	0	0	0	0	0	0	0	0	0	0	0	0	790	576	47	507	635	441	12	544	1239	384	2334	141	59	386	64	
EU-España	22096	17849	15393	12513	7110	13739	11250	10133	10572	11120	8365	7618	7454	6675	7494	11966	11272	13100	10914	10082	10736	10058	11469	11544	8400	9117	5997	6598	6424	5892		
EU-France	12262	8262	9135	5955	5583	5413	5873	5533	4437	4048	2989	2814	2984	1525	1130	2313	3355	3507	3756	3222	3837	2801	4772	4039	4055	5118	2104	1809	3678	2103		
EU-Ireland	0	0	0	0	0	0	0	0	0	0	0	0	0	0	0	0	0	0	0	0	0	0	0	0	0	0	0	0	0	0	0	
EU-Italy	0	0	0	0	0	0	0	0	0	0	0	0	0	0	0	0	0	0	0	0	0	0	0	0	0	0	0	0	0	0	0	
EU-Portugal	3099	9662	5810	5437	6334	3314	1498	1605	2590	1655	3204	4146	5071	5505	3422	5605	3682	6920	6128	5345	3869	3135	2187	3146	4605	3146	3069	3106	3123	2787		
El Salvador	0	0	0	0	0	0	0	0	0	0	0	0	0	0	0	0	0	0	0	0	0	992	1450	1826	2634	2464	1518	1492	1479	1196		
FR-St Pierre et Miquelon	0	0	0	0	0	0	0	0	0	0	0	0	0	0	0	0	0	0	0	0	0	0	0	0	0	0	0	0	0	0	0	
Gabon	87	10	0	0	0	184	150	121	0	0	0	0	0	0	0	0	0	0	0	0	0	0	0	0	0	0	0	0	0	0	0	
Gambia	0	0	0	0	0	0	0	0	0	0	0	0	0	0	0	0	0	0	0	0	0	0	0	0	0	0	0	0	0	0	0	
Ghana	4738	5517	4751	10174	10647	11704	5632	9864	6480	9061	17888	8860	2307	2559	3372	4515	6253	3541	4468	2963	4175	5918	5194	3838	3636	2917	3160	2221	3672	2371		
Great Britain	0	0	0	0	0	0	0	0	0	0	0	0	0	0	0	0	0	0	0	0	0	0	0	0	0	0	0	0	0	0	0	0
Grenada	10	10	0	1	0	0	0	0	0	0	0	0	0	0	0	0	0	0	0	0	0	18	23	33	27	19	11	0	1	4		
Guatemala	0	0	0	0	0	0	0	0	0	0	736	831	998	949	836	998	913	1011	282	262	163	993	340	1103	1602	1488	1623	906	768	855	596	
Guinea Ecuatorial	0	0	0	4	0	0	0	0	0	0	0	0	0	0	0	0	0	0	0	0	0	3	10	17	4	11	7	8	6	5	1	
Guinée Rep	0	334	2394	885	0	0	0	0	0	0	0	0	0	0	0	0	0	328	322	1516	1429	902	0	0	0	0	0	0	0	0	0	
Honduras	0	61	28	59	20	0	0	0	0	0	0	0	0	0	0	0	0	0	0	0	0	0	0	0	0	0	0	0	0	0	0	
Iceland	0	0	0	0	0	0	0	0	0	0	0	0	0	0	0	0	0	0	0	0	0	0	0	0	0	0	0	0	0	0	0	
Japan	38503	35477	33171	26490	24330	21833	24605	18087	15306	19572	18509	14026	15735	17993	16688	16395	15205	12306	15390	13397	13603	12390	10365	10994	9854	9327	8973	8679	11943	13948		
Korea Rep	386	423	1250	796	163	124	43	1	87	143	629	770	2067	2136	2599	2134	2646	2762	1908	1151	1039	675	562	432	623	540	587	674	763	724		
Liberia	53	57	57	57	57	57	57	57	57	57	57	57	57	57	57	57	57	57	57	57	57	57	57	57	57	57	57	57	57	57	57	
Libya	500	400	400	400	400	400	400	400	31	593	593	0	4	0	0	0	0	0	0	0	0	0	0	0	0	0	0	0	0	0	0	
Maroc	977	553	654	255	336	1444	1160	1182	1154	1399	1145	786	929	700	802	795	276	300	300	308	300	309	350	410	500	850	1033	1239	1363	1441		
Mauritania	0	0	0	0	0	0	0	0	0	0	0	0	0	0	0	0	0	0	0	0	0	0	0	0	0	0	0	0	0	0	0	
Mexico	4	10	2	1	3	3	2	2	6	4	5	4	3	3	1	1	3	1	1	2	1	2	2	3	3	3	3	3	3	4	3	
Namibia	715	29	7	46	16	423	589	640	274	215	177	307	283	41	146	108	181	289	376	135	240	465	359	141	109	79	568	1185	2070	664		
Nigeria	0	0	0	0	0	0	0	0	0	0	0	0	0	0	0	0	0	0	0	0	0	0	0	0	0	0	0	0	0	0	0	
Panama	13234	9927	4777	2098	1252	580	952	562	211	0	1521	2310	2415	2922	2262	2405	3047	3462	1694	2774	2315	1289	2337	1664	2067	3052	1648	1107	1328	1322		
Philippines	0	0	0	0	1154	2113	975	377	837	855	1854	1743	1816	2368	1874	1880	1399	1267	532	1323	1964	0	0	0	0	0	0	0	0	0	0	
Russian Federation	0	0	13	38	4	8	91	0	0	0	0	1	26	73	43	0	0	0	0	0	0	0	0	0	0	0	0	0	0	0	0	
S Tomé e Príncipe	3	6	4	5	6	5	4	4																								

		1994	1995	1996	1997	1998	1999	2000	2001	2002	2003	2004	2005	2006	2007	2008	2009	2010	2011	2012	2013	2014	2015	2016	2017	2018	2019	2020	2021	2022	2023	
Discards	CP	0	0	0	0	0	0	0	0	0	0	0	0	0	0	0	0	0	0	0	0	0	0	0	0	0	0	0	0	3	2	0
	Canada	0	0	0	0	0	0	0	0	0	0	0	0	0	0	0	0	0	0	0	0	0	0	0	0	0	0	0	0	0	0	
	EU-France	0	0	0	0	0	0	0	0	0	0	0	0	0	0	0	0	0	0	0	0	0	36	0	38	2	10	3	1	2	1	
	EU-Portugal	0	0	0	0	0	0	0	0	0	0	0	0	0	0	0	0	0	0	0	0	0	0	0	0	0	0	0	0	0	0	
	Japan	0	0	0	0	0	0	0	0	0	0	0	0	0	0	0	0	0	0	0	0	0	0	0	0	26	15	18	17	27	16	
	Korea Rep	0	0	0	0	0	0	0	0	0	0	0	0	0	0	0	0	0	0	0	0	0	1	0	0	0	0	0	0	0	0	
	Mexico	0	0	0	0	0	0	0	0	0	0	0	0	0	0	0	0	0	0	0	0	0	0	0	0	0	0	0	0	0	0	
	South Africa	0	0	0	0	0	0	0	0	0	0	0	0	0	0	0	0	0	0	0	0	0	0	0	0	0	0	0	0	0	0	0
	UK-Bermuda	0	0	0	0	0	0	0	0	0	0	0	0	0	0	0	0	0	0	0	0	0	0	0	0	0	0	0	0	0	0	0
	USA	0	0	0	0	0	0	0	0	0	0	0	0	0	0	0	0	0	0	0	0	0	0	0	0	0	0	9	6	5	6	6
	NCC	0	0	0	0	0	0	0	0	0	0	0	0	0	0	0	0	0	1	14	0	0	0	0	0	0	0	0	0	0	0	0
	Chinese Taipei	0	0	0	0	0	0	0	0	0	0	0	0	0	0	0	0	0	0	0	0	0	0	0	0	0	0	0	0	0	0	0

BET-Tabla 2. Detalles de las especificaciones de los 27 modelos de la matriz de incertidumbre de Stock Synthesis para el patudo del Atlántico. Los 27 modelos se han construido como un diseño plenamente cruzado de los 3 parámetros de incertidumbre a continuación ($3 \times 3 \times 3 = 27$). La edad máxima representa el supuesto de vida utilizado para estimar la mortalidad natural específica de la edad. Sigma R representa la variabilidad del reclutamiento no explicada por la relación reclutamiento-stock reproductor y la inclinación representa la forma de la SSB frente a la relación del reclutamiento. Los valores en negrita representan la combinación de modelos que el Comité definió como «caso de referencia». Este modelo de referencia se definió únicamente con el propósito de construir los ensayos iniciales de la evaluación y de compararlos con los ensayos de sensibilidad. El modelo de referencia recibió la misma ponderación que cualquiera de los demás modelos de la matriz de incertidumbre en la estimación del estado del stock y el desarrollo de las predicciones.

Parámetro	Valor1	Valor2	Valor3
Max_Age	17	20	25
Steepness	0.7	0.8	0.9
Sigma R	0.2	0.4	0.6

BET-Tabla 3. Porcentaje de ensayos del modelo que tuvieron como resultado niveles de $SSB \leq 20\%$ de SSB_{RMS} durante el periodo de proyección en un año determinado para un determinado nivel de captura (1.000 t) para el patudo del Atlántico.

TAC (1000s mt)	2022	2023	2024	2025	2026	2027	2028	2029	2030	2031	2032	2033	2034	2035
35	0%	0%	0%	0%	0%	0%	0%	0%	0%	0%	0%	0%	0%	0%
37.5	0%	0%	0%	0%	0%	0%	0%	0%	0%	0%	0%	0%	0%	0%
40	0%	0%	0%	0%	0%	0%	0%	0%	0%	0%	0%	0%	0%	0%
42.5	0%	0%	0%	0%	0%	0%	0%	0%	0%	0%	0%	0%	0%	0%
45	0%	0%	0%	0%	0%	0%	0%	0%	0%	0%	0%	0%	0%	0%
47.5	0%	0%	0%	0%	0%	0%	0%	0%	0%	0%	0%	0%	0%	0%
50	0%	0%	0%	0%	0%	0%	0%	0%	0%	0%	0%	0%	0%	0%
52.5	0%	0%	0%	0%	0%	0%	0%	0%	0%	0%	0%	0%	0%	0%
55	0%	0%	0%	0%	0%	0%	0%	0%	0%	0%	0%	0%	0%	0%
57.5	0%	0%	0%	0%	0%	0%	0%	0%	0%	0%	0%	0%	0%	0%
60	0%	0%	0%	0%	0%	0%	0%	0%	0%	0%	0%	0%	0%	0%
61.5	0%	0%	0%	0%	0%	0%	0%	0%	0%	0%	0%	0%	0%	0%
62.5	0%	0%	0%	0%	0%	0%	0%	0%	0%	0%	0%	0%	0%	0%
65	0%	0%	0%	0%	0%	0%	0%	0%	0%	0%	0%	0%	0%	0%
67.5	0%	0%	0%	0%	0%	0%	0%	0%	0%	0%	0%	0%	0%	0%
70	0%	0%	0%	0%	0%	0%	0%	0%	0%	0%	0%	0%	0%	0%
72.5	0%	0%	0%	0%	0%	0%	0%	0%	0%	0%	0%	0%	0%	0%
75	0%	0%	0%	0%	0%	0%	0%	0%	0%	0%	0%	0%	0%	0%
77.5	0%	0%	0%	0%	0%	0%	0%	0%	0%	0%	0%	0%	0%	0%
80	0%	0%	0%	0%	0%	0%	0%	0%	0%	0%	0%	0%	0%	0%
82.5	0%	0%	0%	0%	0%	0%	0%	0%	0%	0%	0%	0%	0%	1%
85	0%	0%	0%	0%	0%	0%	0%	0%	0%	0%	0%	1%	2%	8%
87.5	0%	0%	0%	0%	0%	0%	0%	0%	0%	0%	1%	3%	13%	27%
90	0%	0%	0%	0%	0%	0%	0%	0%	0%	1%	3%	14%	28%	32%

BET-Tabla 4. Probabilidades estimadas de que el stock de patudo del Atlántico se encuentre por debajo de F_{RMS} (no se está produciendo sobrepesca), por encima de B_{RMS} (no está sobrepescado) y por encima de B_{RMS} y por debajo de F_{RMS} (zona verde) en un año determinado para un nivel de captura determinado ('000 t), basándose en los resultados de la evaluación del stock de Stock Synthesis de 2021.

a) Probabilidad de que no se esté produciendo sobrepesca ($F \leq F_{RMS}$)

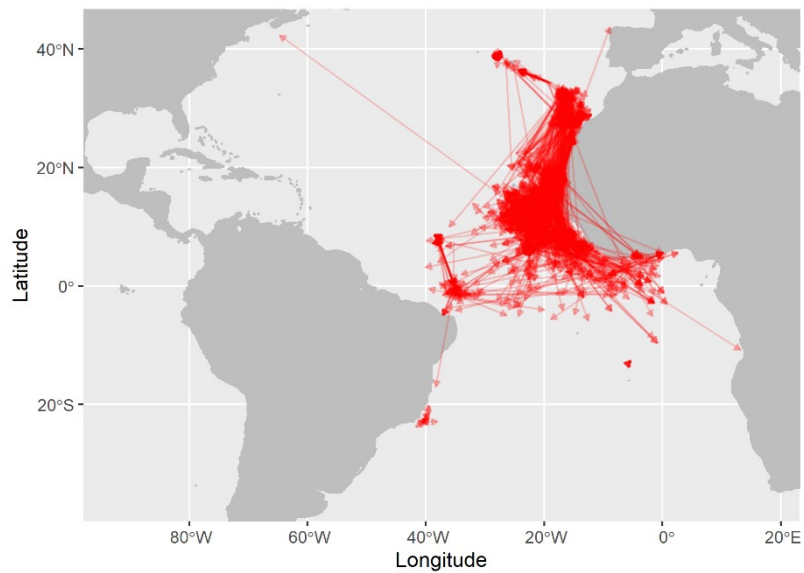
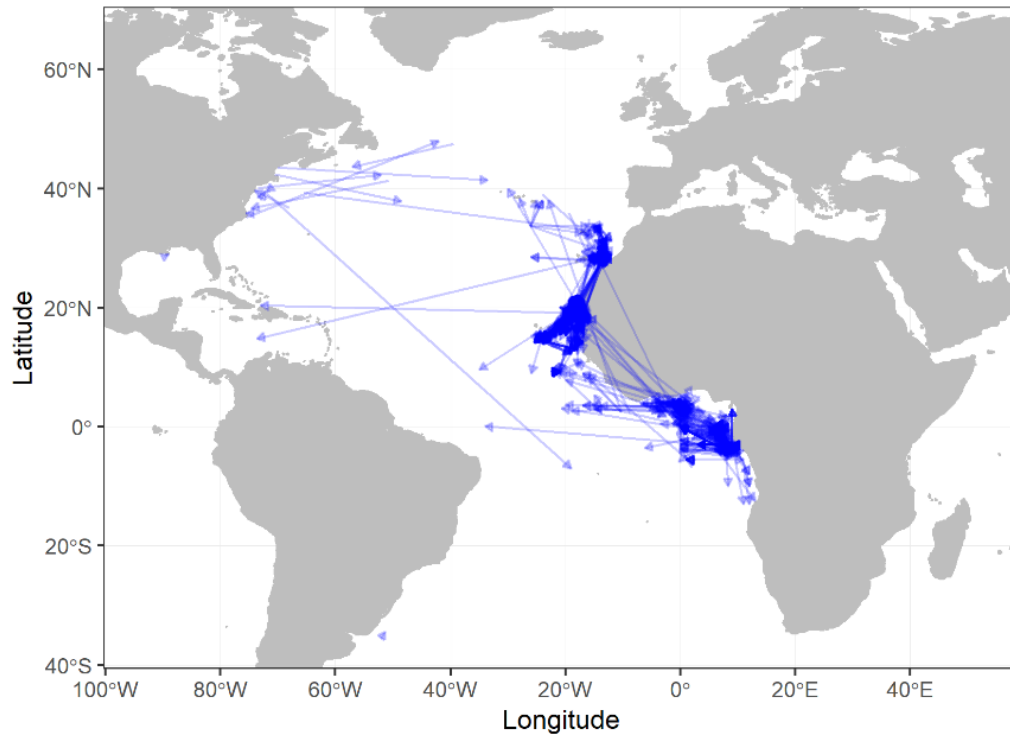
TAC (1000s mt)	2022	2023	2024	2025	2026	2027	2028	2029	2030	2031	2032	2033	2034
35	100%	100%	100%	100%	100%	100%	100%	100%	100%	100%	100%	100%	100%
37.5	100%	100%	100%	100%	100%	100%	100%	100%	100%	100%	100%	100%	100%
40	100%	100%	100%	100%	100%	100%	100%	100%	100%	100%	100%	100%	100%
42.5	100%	100%	100%	100%	100%	100%	100%	100%	100%	100%	100%	100%	100%
45	100%	100%	100%	100%	100%	100%	100%	100%	100%	100%	100%	100%	100%
47.5	99%	100%	100%	100%	100%	100%	100%	100%	100%	100%	100%	100%	100%
50	99%	99%	100%	100%	100%	100%	100%	100%	100%	100%	100%	100%	100%
52.5	98%	99%	99%	99%	100%	100%	100%	100%	100%	100%	100%	100%	100%
55	97%	98%	98%	99%	99%	100%	100%	100%	100%	100%	100%	100%	100%
57.5	96%	97%	98%	98%	99%	99%	99%	99%	100%	100%	100%	100%	100%
60	94%	96%	96%	97%	98%	98%	99%	99%	99%	99%	99%	99%	99%
61.5	93%	95%	95%	96%	97%	97%	98%	98%	98%	98%	98%	98%	99%
62.5	92%	94%	95%	96%	96%	97%	97%	98%	98%	98%	98%	98%	98%
65	90%	92%	92%	93%	94%	95%	95%	95%	96%	95%	95%	95%	95%
67.5	88%	89%	90%	91%	92%	92%	93%	93%	92%	92%	92%	92%	91%
70	85%	86%	87%	87%	88%	88%	89%	89%	88%	87%	87%	86%	85%
72.5	82%	83%	83%	83%	84%	84%	83%	83%	82%	81%	80%	79%	78%
75	78%	80%	79%	79%	79%	78%	77%	76%	75%	74%	73%	71%	69%
77.5	75%	76%	75%	74%	73%	72%	70%	69%	67%	66%	65%	63%	61%
80	71%	72%	70%	69%	67%	65%	62%	60%	58%	56%	55%	53%	52%
82.5	67%	67%	65%	64%	60%	57%	55%	52%	50%	47%	46%	44%	43%
85	63%	63%	60%	58%	53%	50%	47%	44%	41%	39%	38%	37%	36%
87.5	59%	59%	55%	53%	47%	43%	40%	36%	34%	32%	31%	31%	31%
90	55%	54%	50%	48%	41%	37%	33%	30%	28%	27%	26%	27%	26%

b) Probabilidad de no estar sobrepescado ($SSB \geq SSB_{RMS}$)

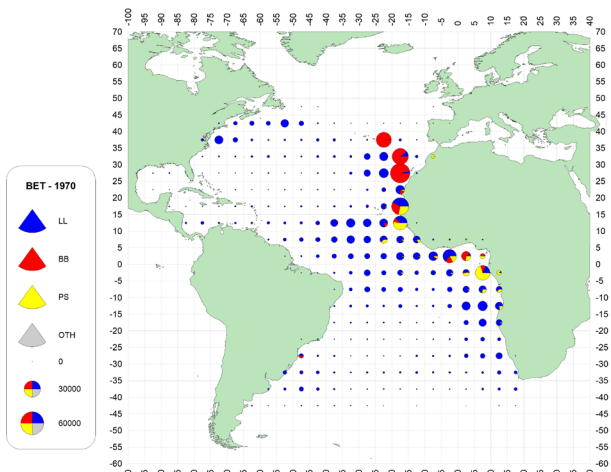
	2022	2023	2024	2025	2026	2027	2028	2029	2030	2031	2032	2033	2034
35	85%	91%	96%	98%	99%	100%	100%	100%	100%	100%	100%	100%	100%
37.5	85%	91%	96%	98%	99%	100%	100%	100%	100%	100%	100%	100%	100%
40	84%	90%	95%	98%	99%	100%	100%	100%	100%	100%	100%	100%	100%
42.5	84%	90%	94%	97%	99%	99%	100%	100%	100%	100%	100%	100%	100%
45	84%	89%	94%	96%	98%	99%	100%	100%	100%	100%	100%	100%	100%
47.5	83%	89%	93%	96%	97%	99%	99%	100%	100%	100%	100%	100%	100%
50	83%	88%	92%	95%	97%	98%	99%	99%	100%	100%	100%	100%	100%
52.5	83%	87%	91%	94%	96%	97%	98%	99%	99%	100%	100%	100%	100%
55	82%	87%	91%	93%	95%	96%	97%	98%	99%	99%	100%	100%	100%
57.5	82%	86%	90%	92%	93%	95%	96%	97%	98%	98%	99%	99%	99%
60	82%	86%	89%	90%	92%	93%	94%	95%	96%	97%	98%	98%	98%
61.5	81%	85%	88%	89%	91%	92%	93%	94%	95%	96%	97%	97%	98%
62.5	81%	85%	87%	89%	90%	91%	91%	93%	94%	95%	96%	96%	97%
65	81%	84%	86%	87%	88%	88%	89%	90%	91%	91%	92%	93%	93%
67.5	80%	84%	85%	85%	85%	85%	85%	85%	86%	87%	88%	87%	88%
70	80%	83%	83%	83%	82%	82%	81%	80%	81%	81%	81%	81%	82%
72.5	80%	82%	82%	81%	79%	77%	75%	74%	74%	74%	74%	73%	73%
75	79%	81%	80%	78%	76%	73%	70%	68%	68%	66%	66%	65%	64%
77.5	79%	81%	79%	75%	72%	68%	64%	62%	60%	58%	57%	55%	54%
80	78%	80%	77%	72%	68%	63%	58%	56%	52%	50%	48%	47%	46%
82.5	78%	79%	75%	69%	64%	58%	53%	47%	45%	42%	41%	40%	39%
85	77%	78%	73%	66%	59%	52%	47%	41%	38%	36%	35%	34%	35%
87.5	77%	77%	71%	63%	55%	47%	40%	35%	32%	31%	30%	31%	31%
90	76%	76%	69%	60%	50%	43%	35%	30%	27%	26%	28%	28%	27%

c) Probabilidad de no estar sobrepescado ($SSB \geq SSB_{RMS}$) y de que no se esté produciendo sobrepesca ($F \leq F_{RMS}$)

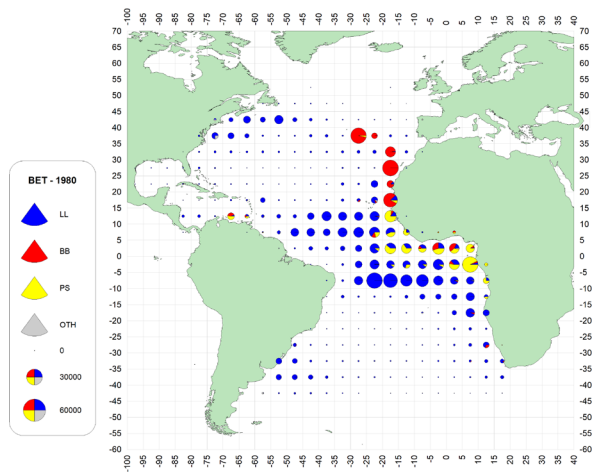
TAC (1000s mt)	2022	2023	2024	2025	2026	2027	2028	2029	2030	2031	2032	2033	2034
35	85%	91%	96%	98%	99%	100%	100%	100%	100%	100%	100%	100%	100%
37.5	85%	91%	96%	98%	99%	100%	100%	100%	100%	100%	100%	100%	100%
40	85%	90%	95%	98%	99%	100%	100%	100%	100%	100%	100%	100%	100%
42.5	84%	90%	94%	97%	99%	99%	100%	100%	100%	100%	100%	100%	100%
45	84%	89%	94%	96%	98%	99%	100%	100%	100%	100%	100%	100%	100%
47.5	83%	89%	93%	96%	97%	99%	99%	100%	100%	100%	100%	100%	100%
50	83%	88%	92%	95%	97%	98%	99%	99%	100%	100%	100%	100%	100%
52.5	83%	88%	92%	94%	96%	97%	98%	99%	99%	100%	100%	100%	100%
55	82%	87%	91%	93%	95%	96%	97%	98%	99%	99%	100%	100%	100%
57.5	82%	86%	90%	92%	93%	95%	96%	97%	98%	98%	99%	99%	99%
60	81%	86%	89%	90%	92%	93%	94%	95%	96%	97%	98%	98%	98%
61.5	81%	85%	88%	89%	91%	92%	93%	94%	95%	96%	97%	97%	97%
62.5	81%	85%	87%	89%	90%	91%	92%	93%	94%	95%	96%	96%	97%
65	81%	84%	86%	87%	87%	88%	89%	90%	90%	92%	92%	93%	93%
67.5	80%	83%	84%	85%	85%	85%	85%	85%	86%	87%	87%	87%	88%
70	79%	82%	83%	82%	82%	81%	81%	80%	81%	81%	80%	81%	82%
72.5	78%	80%	80%	79%	79%	77%	75%	74%	74%	74%	74%	73%	73%
75	76%	78%	77%	76%	74%	72%	70%	68%	68%	66%	65%	65%	64%
77.5	73%	74%	74%	72%	70%	67%	64%	62%	59%	58%	57%	56%	54%
80	70%	71%	70%	68%	64%	61%	57%	55%	52%	50%	48%	47%	46%
82.5	67%	67%	65%	63%	59%	55%	52%	47%	44%	42%	41%	40%	39%
85	63%	63%	60%	58%	53%	48%	45%	40%	37%	36%	34%	34%	34%
87.5	59%	58%	55%	53%	47%	42%	38%	34%	31%	30%	29%	29%	30%
90	55%	54%	50%	48%	41%	37%	32%	28%	26%	25%	25%	26%	25%



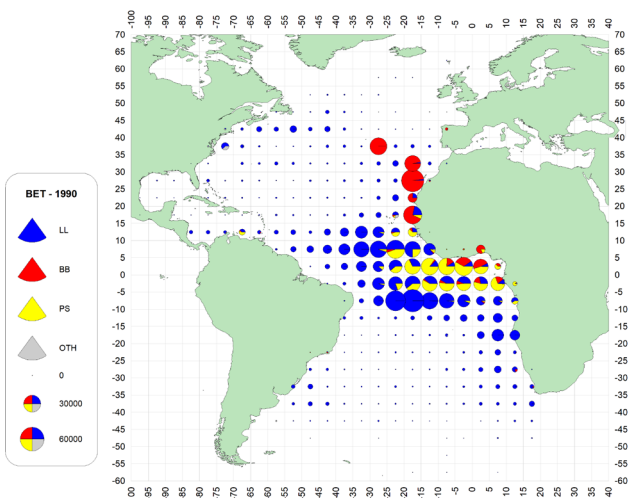
BET-Figura 1. Desplazamientos aparentes (distancia rectilínea entre el lugar de marcado y el de recaptura) calculados a partir del mercado convencional de patudo del Atlántico de la base de datos de marcado histórico de ICCAT (panel superior) y de las actividades actuales del AOTTP (panel inferior).



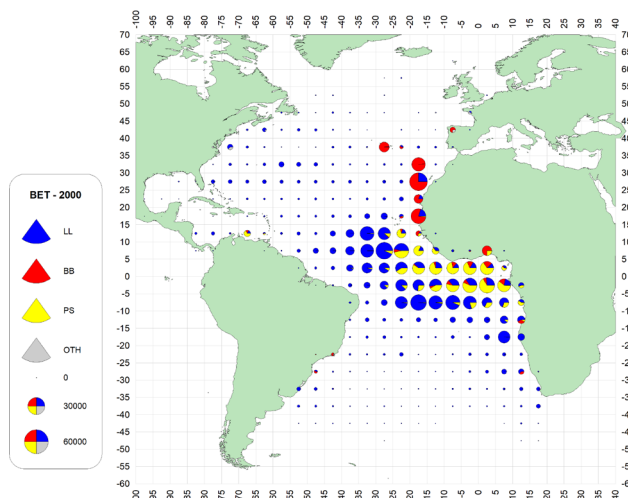
a. BET (1970-79)



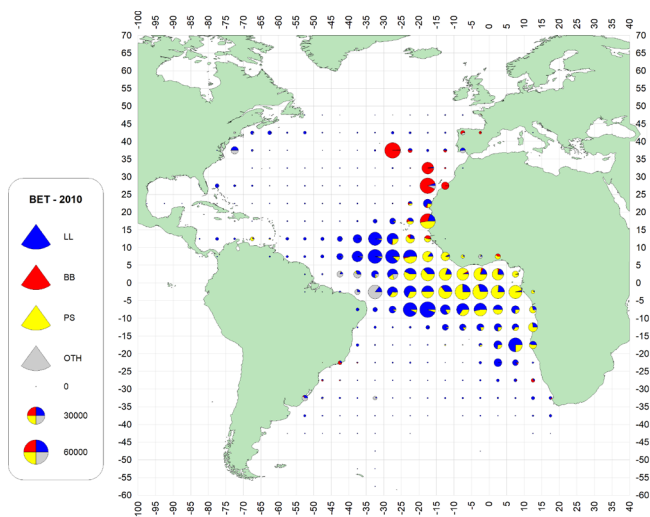
b. BET (1980-89)



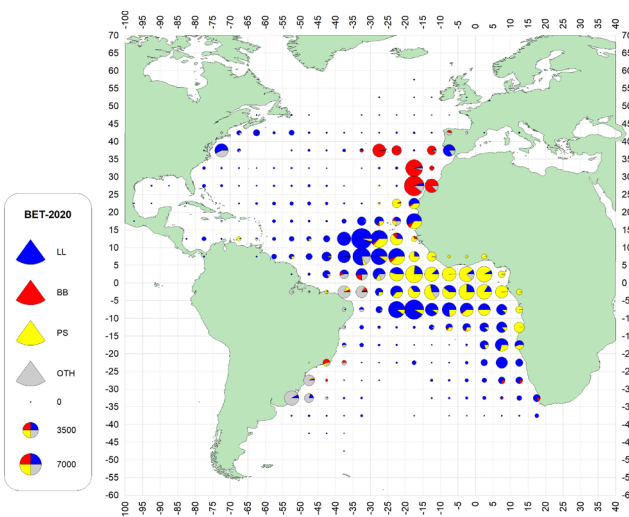
c. BET (1990-99)



d. BET (2000-09)

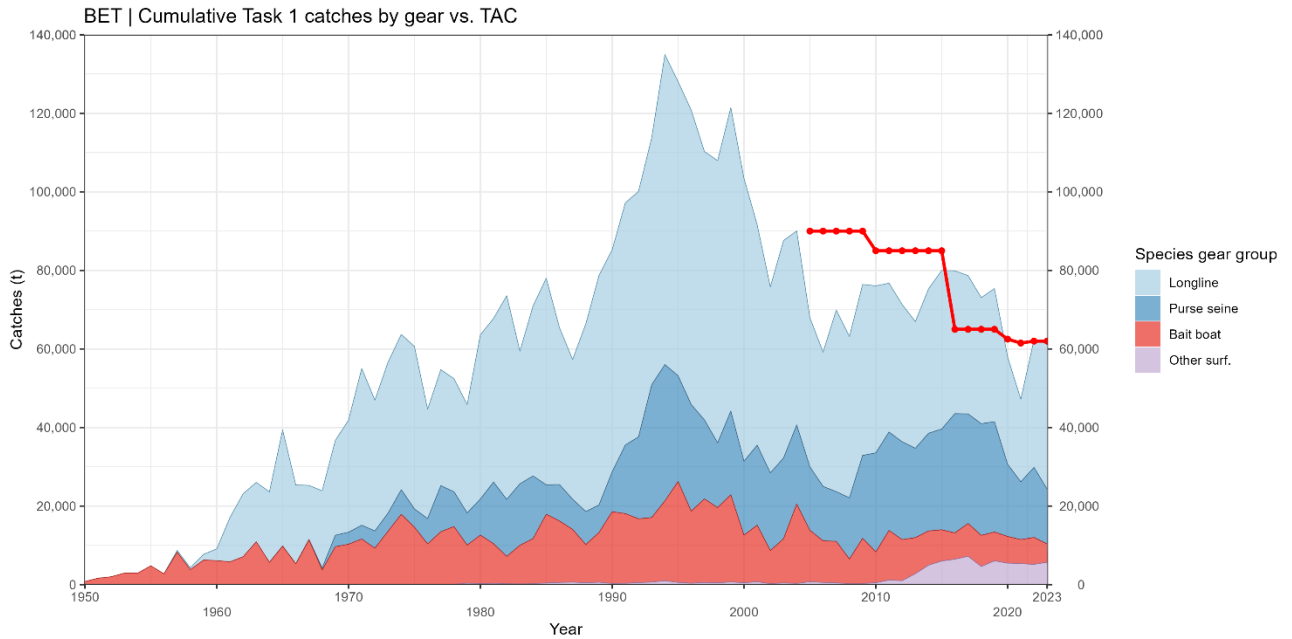


e. BET (2010-19)

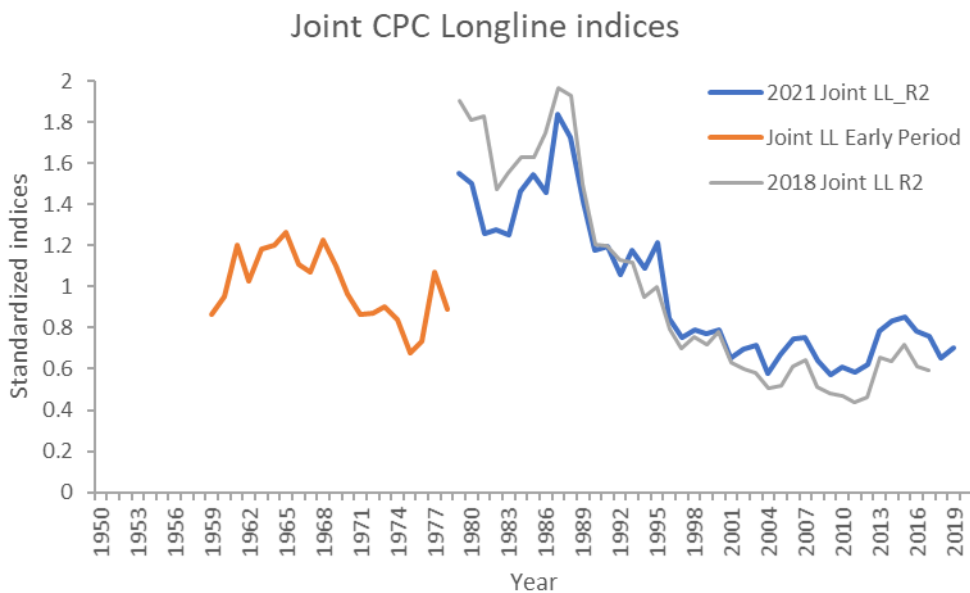


f. BET (2020-22)

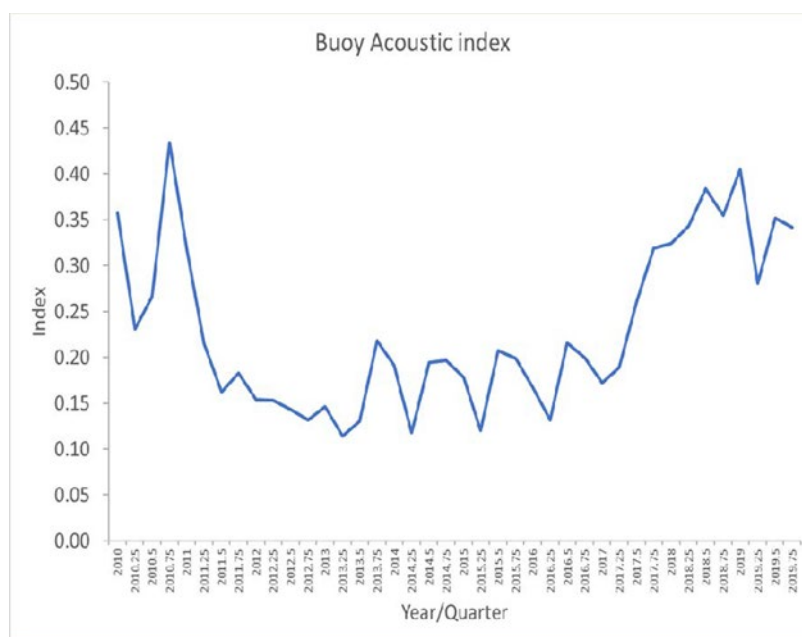
BET-Figura 2 [a-f]. Distribución geográfica de la captura de patudo por artes principales y década. Los gráficos están escalados a la captura máxima observada en 1970-2022 (la última década solo cubre 3 años).



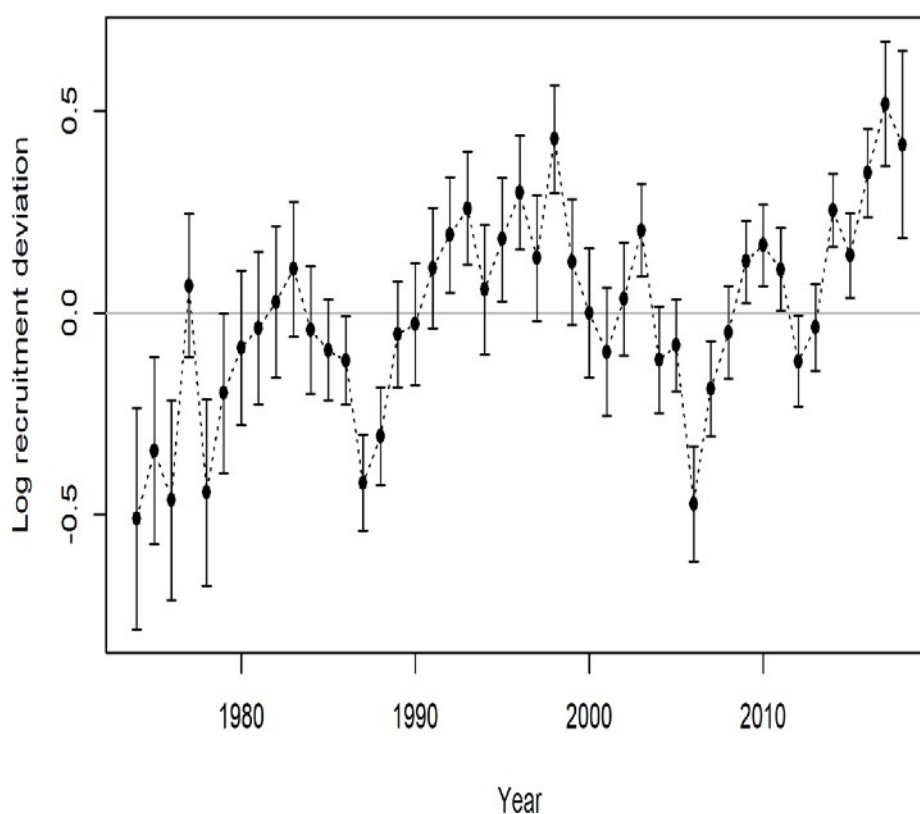
BET-Figura 3. Capturas estimadas y comunicadas de patudo para todo el stock del Atlántico, en toneladas. La línea roja de puntos representa el TAC.



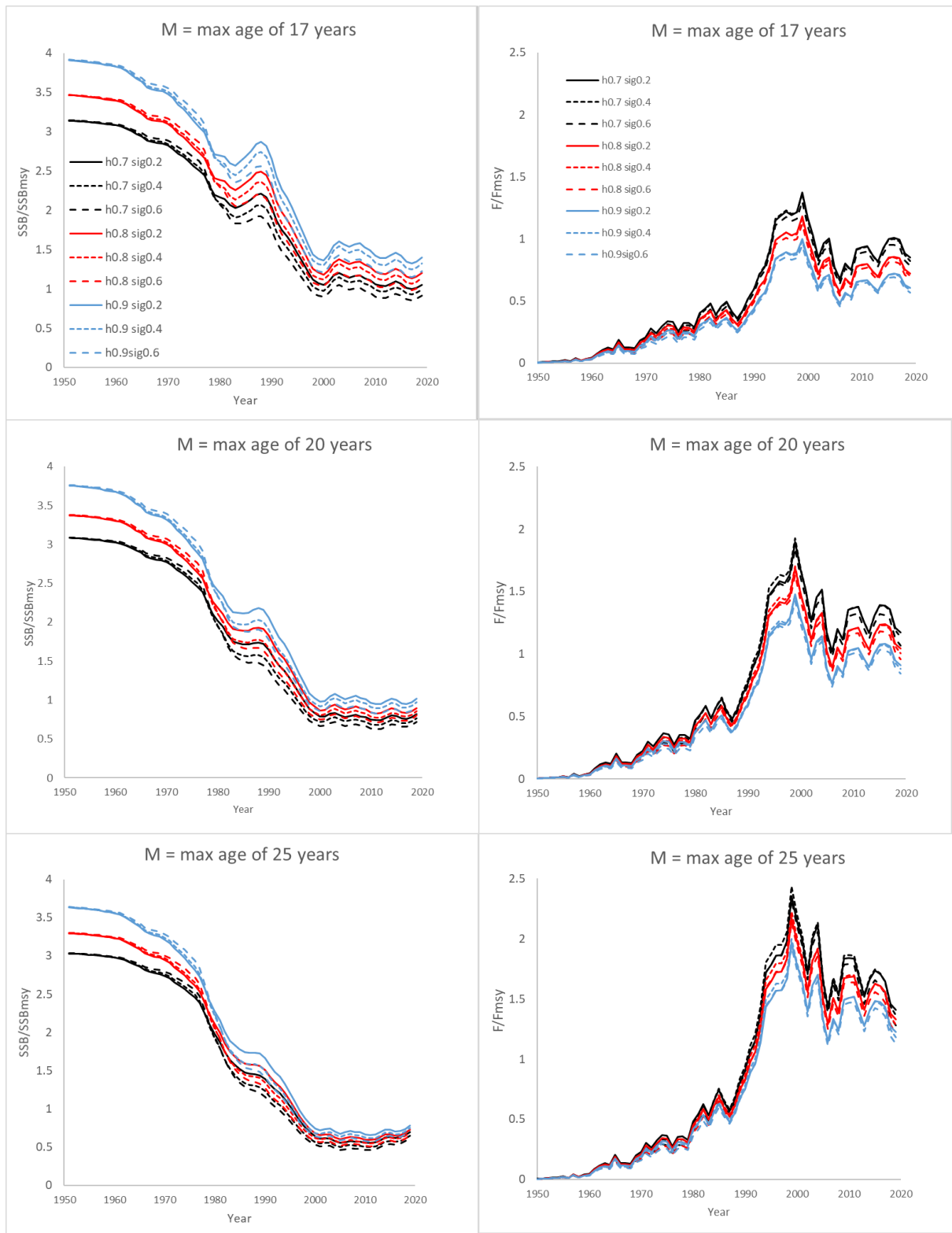
BET-Figura 4. Índice de palangre conjunto anual para 1959-2019, que incluye dos series, primer periodo (1959-1978, joint LL Early Period) y periodo tardío (1979-2019, 2021 joint LL R2) usadas en la evaluación del stock de 2021. Con fines de comparación, se presenta el periodo tardío (1979-2017) del índice conjunto de 2018 (2018 Joint LL R2), que se utilizó para los análisis de sensibilidad. Los índices se han separado en 1979 debido a la falta de datos sobre la ID de los buques antes de dicho año. El índice de 2018 para el periodo tardío se desarrolló con datos sobre buques y sobre lance por lance, pero el índice de 2021 para el periodo tardío no.



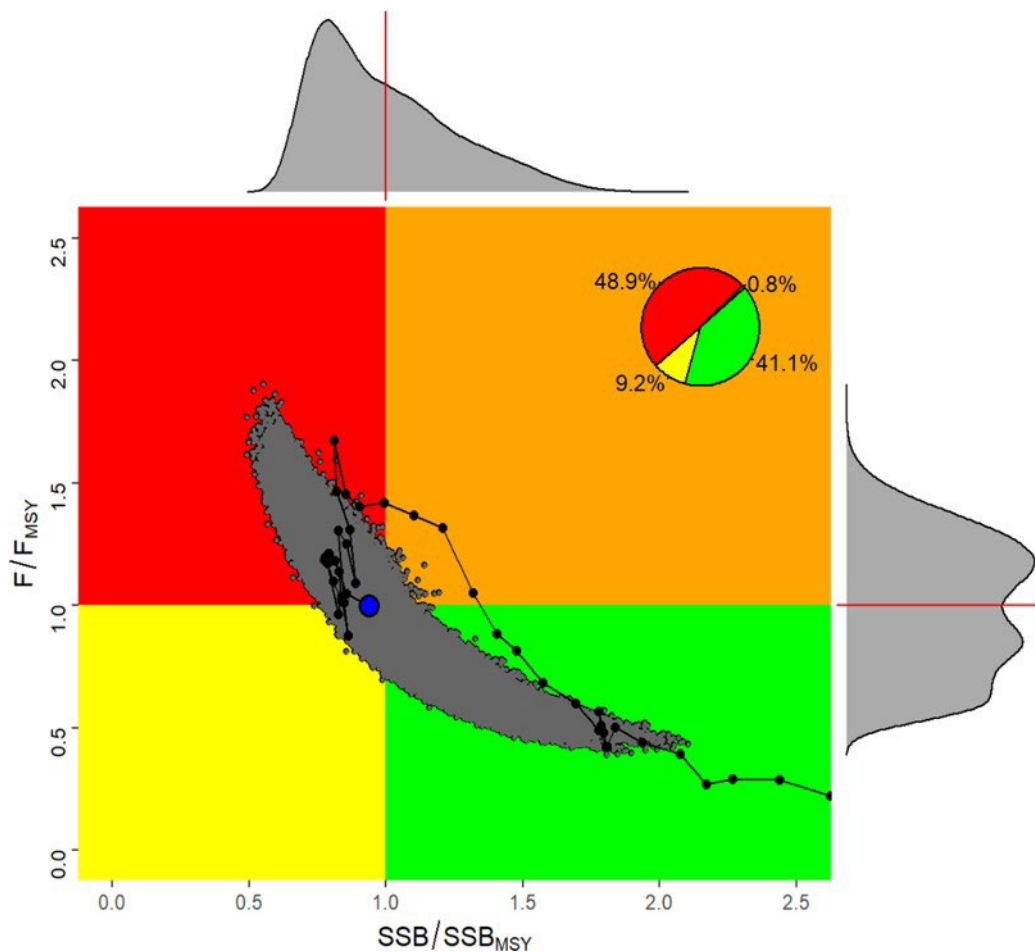
BET-Figura 5. Índice de abundancia trimestral de las boyas acústicas utilizado en la pesquería de DCP para 2010-2019.



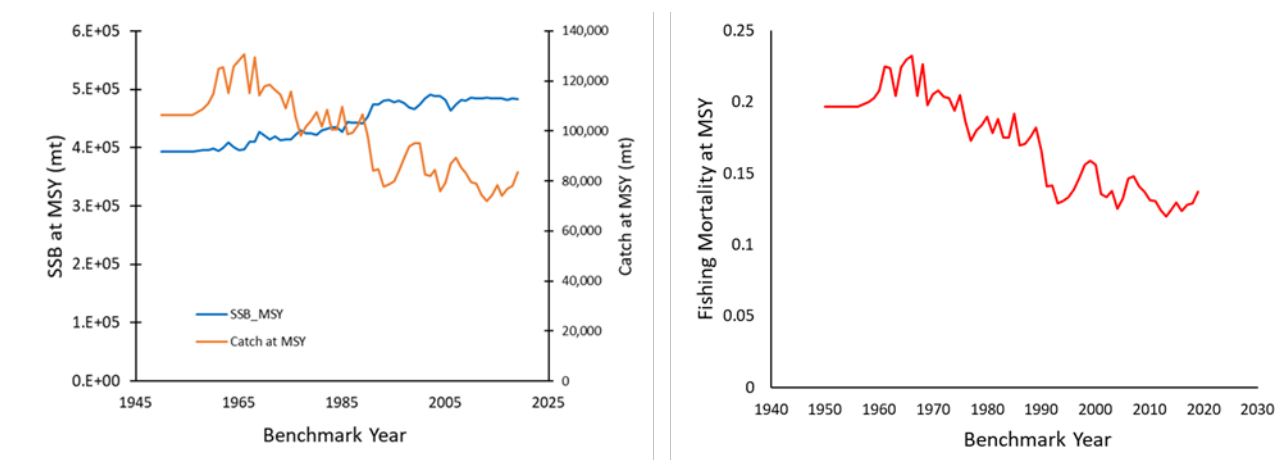
BET-Figura 6. Desviaciones de reclutamiento estimadas para el periodo 1974-2018 para el caso de referencia de Stock Synthesis (véase la **BET-Tabla 2** para la definición). La línea de cero representa el reclutamiento previsto resultante de la biomasa del stock reproductor del año anterior. Los valores positivos representan reclutamientos mejores de los previsto y los valores negativos, reclutamientos peores de lo previsto.



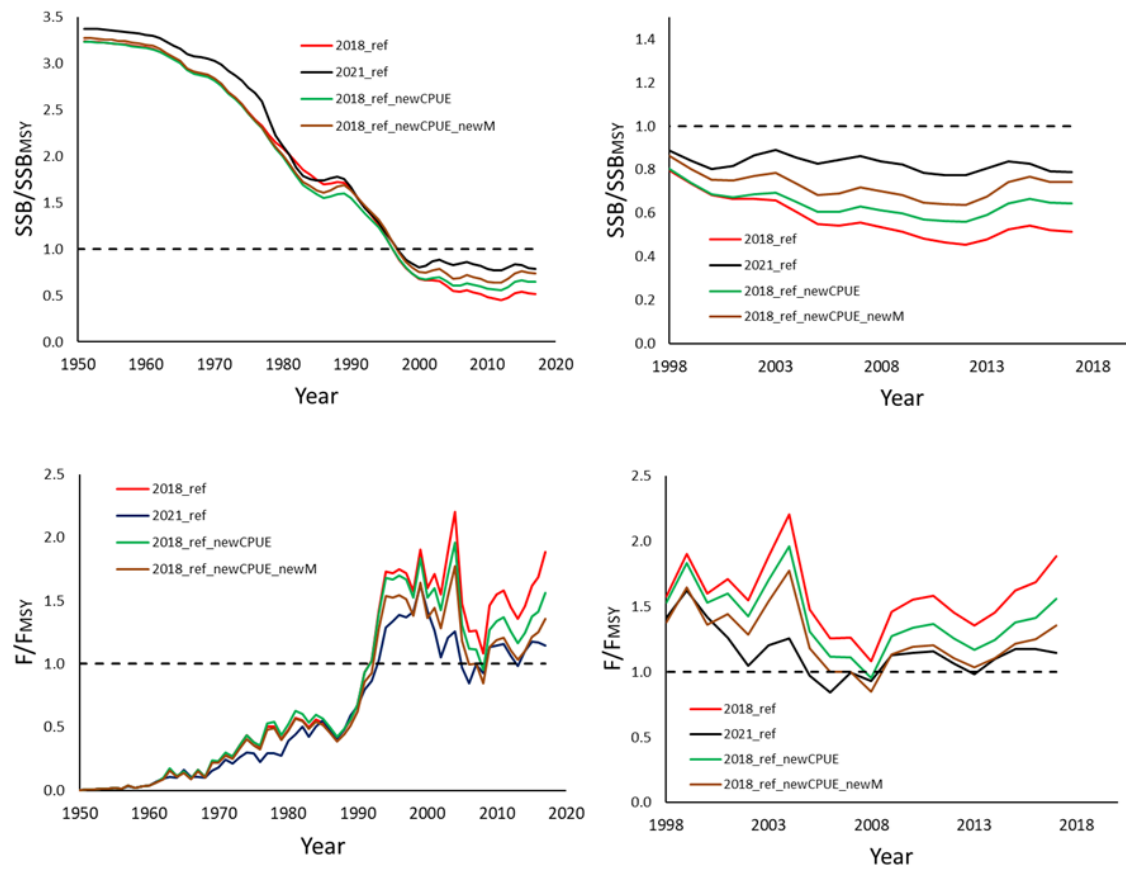
BET-Figura 7. Series temporales de las tendencias del estado del stock en los 27 modelos de Stock Synthesis de la matriz de incertidumbre. Los paneles de cada fila representan los diferentes supuestos de edad máxima y, por tanto, de mortalidad natural. Los paneles izquierdos representan las tendencias de SSB/SSB_{RMS} y los paneles derechos las tendencias de F/F_{RMS} . Las líneas individuales representan diferentes combinaciones de inclinación y sigma R.



BET-Figura 8. Stock Synthesis: Diagrama de Kobe de SSB/SSB_{RMS} y F/F_{RMS} para el estado del stock del patudo del Atlántico en 2019 basado en la aproximación multivariable logarítmica normal de los 27 ensayos de la matriz de incertidumbre del modelo Stock Synthesis con un diagrama de tarta insertado que muestra la probabilidad de que el stock se sitúe en el cuadrante rojo (48,9 %), en el cuadrante verde (41,1 %), en el naranja (0,8 %) y en el amarillo (9,2 %). El círculo azul es la mediana y los histogramas marginales representan la distribución de SSB/SSB_{RMS} o de F/F_{RMS} .

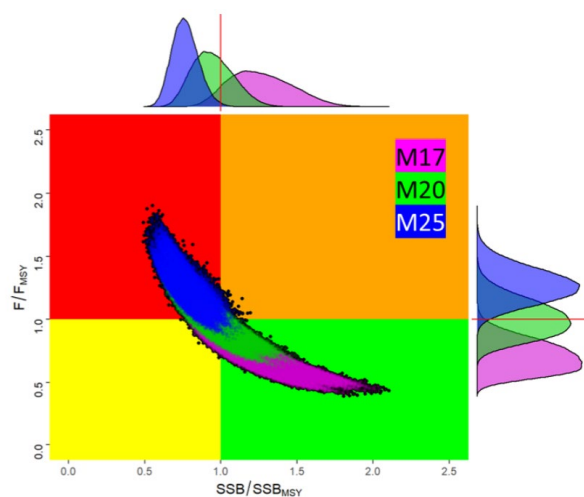


BET-Figura 9. Estimación de la dinámica de SSB en RMS (t) y captura en RMS (panel de la izquierda) y estimación de la mortalidad por pesca en RMS (panel de la derecha) por año, demostrando los efectos de los cambios en la selectividad del patudo utilizando el caso de referencia Stock Synthesis de 2021.

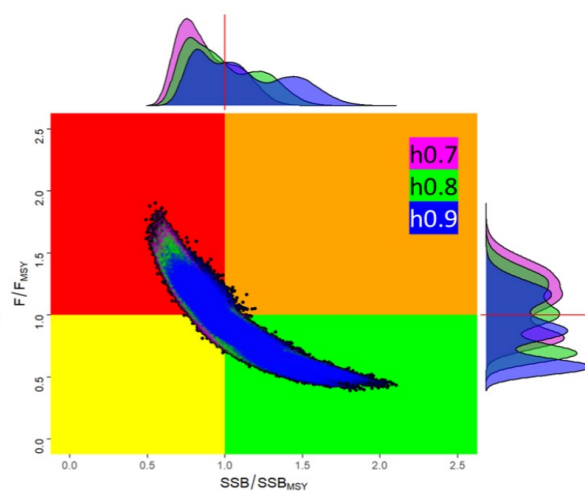


BET-Figura 10. Ensayos de sensibilidad que muestran la serie temporal de las tendencias del estado del stock (paneles izquierdos 1950-2017, paneles derechos 1998-2017, paneles superiores SSB/SSB_{RMS} y paneles inferiores F/F_{RMS}) demostrando los efectos de los cambios en el estado del stock debidos a la incorporación del índice de palangre conjunto de 2021 y de los nuevos supuestos sobre mortalidad natural. Las líneas representan los casos de referencia de 2018 (2018 ref.) y 2021 (2021 ref.), el caso de referencia de 2018 sustituyendo el índice de palangre conjunto de 2018 por el índice de palangre conjunto de 2021 (2018 ref. new CPUE) y este último caso sustituyendo la mortalidad natural de 2018 por la mortalidad natural de 2021 (2018 ref. new CPUE, new M). La mortalidad natural del caso de referencia de 2021 corresponde a la edad máxima de 20.

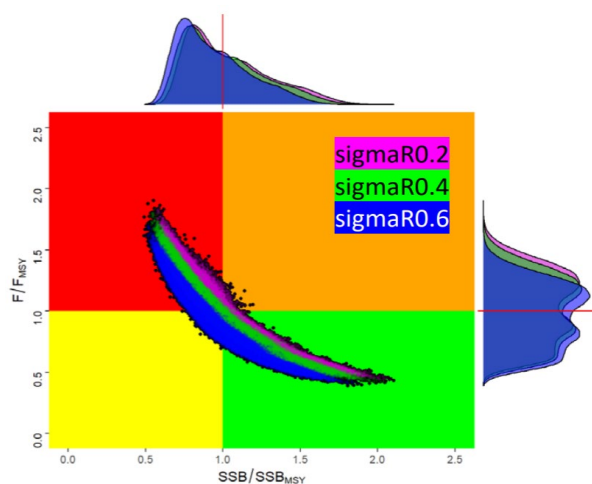
(a) effect of Maximum age(M)



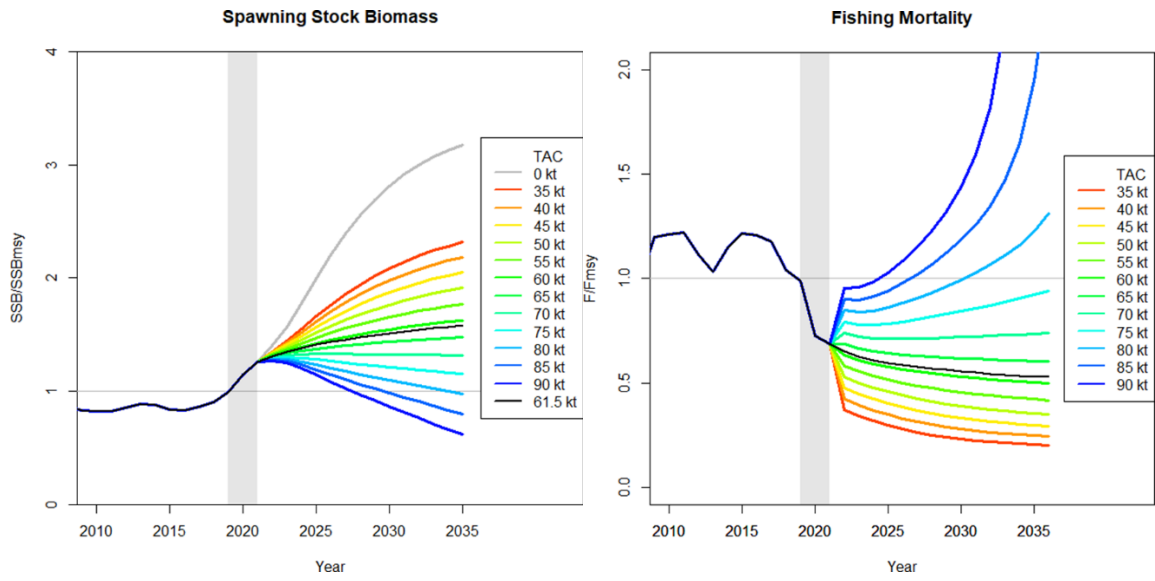
(b) effect of steepness (h)



(c) effect of sigma R



BET-Figura 11. Efectos de los principales ejes de los parámetros de incertidumbre (a: mortalidad natural asociada con supuesto de edad máxima, b: inclinación, c: sigmaR) en el diagrama de fase de Kobe para los 27 ensayos de la matriz de incertidumbre de Stock Synthesis para el patudo del Atlántico. En cada diagrama, la nube de puntos y los colores de los histogramas marginales corresponden al nivel de cada parámetro de incertidumbre.



BET-Figura 12. Proyecciones deterministas de SSB/SSB_{RMS} (panel izquierdo) y mortalidad por pesca (panel derecho), para los 27 ensayos de la matriz de incertidumbre de Stock Synthesis con una captura constante de 35.000-90.000 t para el patudo del Atlántico. Las líneas son la media de 27 de ensayos deterministas y la línea negra es para el TAC actual (61.500 t). La barra gris representa el periodo en el que las capturas para 2020 y 2021 se fijan en 59.919 t y 61.500 t, respectivamente.